

ИССЛЕДОВАНИЕ СОПРОТИВЛЕНИЯ И ТЕПЛООБМЕНА  
ПРИ ТУРБУЛЕНТНОМ ТЕЧЕНИИ ВОЗДУХА  
В ОСЕСИММЕТРИЧНЫХ КАНАЛАХ С ПРОДОЛЬНЫМ  
ГРАДИЕНТОМ ДАВЛЕНИЯ

*А. И. Леонтьев, А. Н. Обливин, П. Н. Романенко*

(*Москва*)

Излагаются результаты экспериментальных исследований характеристик турбулентного пограничного слоя при течении нагретого воздуха в осесимметричных диффузорных и конфузорных каналах с охлаждаемыми стенками. Обработка и обобщение опытных данных проведены в параметрической форме. Найдены зависимости форм-параметров, характеризующих форму профиля скоростей и температур, а также определяющих закон трения и теплообмена, от продольного градиента давления.

Полученный экспериментальный материал позволил разработать методы расчета турбулентного пограничного слоя при течении газа с продольным градиентом давления и теплообменом, которые дают возможность определить толщины потери импульса и энергии, толщины динамического и теплового вытеснения, касательное напряжение и удельный тепловой поток на стенке.

Приводятся, кроме того, результаты экспериментального исследования распределения касательного напряжения и удельного теплового потока, а также коэффициентов турбулентного обмена импульсов и тепла по сечению турбулентного пограничного слоя при градиентном течении газа.

В опубликованных работах по исследованию турбулентного пограничного слоя при наличии существенных градиентов давления [1-4] в основном рассматривается динамический пограничный слой. Однако вопрос о возможности распространения этих методов на расчет турбулентного пограничного слоя в условиях теплообмена, остается в настоящее время, открытым.

Известны отдельные работы, где делаются попытки теоретическим путем учесть влияние существенных градиентов давления на характеристики динамического и теплового пограничных слоев [5,6]. Однако большое количество мало обоснованных допущений, и неоправданная громоздкость расчетных формул существенно снижают практическую ценность этих исследований. В ближайшее время трудно рассчитывать на серьезные успехи в применении статистической теории к изучению анизотропной турбулентности, поэтому наиболее эффективным методом исследования пока следует признать широко поставленный эксперимент.

1. Экспериментальная установка. Измеряемые величины и измерительные приборы. Исследовались характеристики турбулентного пограничного слоя при движении нагретого воздуха в осесимметричных диффузорах с углами раствора  $8^{\circ}4'$  и  $12^{\circ}$  и в конфузоре с углом сужения  $8^{\circ}$ . Опытами охвачен диапазон чисел Рейнольдса  $R$  от  $1.688 \cdot 10^5$  до  $8.48 \cdot 10^5$ . Температура стенки каналов экспериментальных участков, охлаждаемых водой, изменялась от  $286$  до  $320^{\circ}\text{K}$ , температура воздушного потока — от  $425$  до  $623^{\circ}\text{K}$ . Скорости потенциального потока изменялись в пределах до  $M = 0.5$ .

Всего охвачен опытами 51 режим. Каждый режим характеризуется определенной скоростью и температурой воздушного потока перед входом в экспериментальный участок. В результате обработки получено около 200 опытных точек, по которым построены обобщающие зависимости; чтобы не затенять полученные зависимости, в данной работе, на графиках показана только зона разброса опытных точек.

Каждый экспериментальный участок собран из пяти теплоизолированных секций с двойными стенками, образующими пространство, через которое пропускалась охлаждающая вода. Внутренняя стенка толщиной

2 *мм* выполнена из меди; наружная стенка стальная. Ее толщина 2.5 *мм*. Длина каждой секции 150 *мм*. Внутренний диаметр диффузоров: на входе воздуха 115 *мм*, на выходе воздуха 220 и 272.5 *мм*. Внутренний диаметр конфузора 145 *мм* на входе воздуха и 45 *мм* на выходе воздуха.

Охлаждающая вода подводилась в каждую секцию из общего напорного бака. Нагретая вода сливалась в дренаж. Расход воды через каждую секцию поддерживался постоянным. Нагрев воды в секциях измерялся дифференциальными хромелькопелевыми термопарами.

Экспериментальный участок был частью установки, представляющей собой разомкнутую аэродинамическую трубу периодического действия. В состав установки входят: воздушный компрессор типа 2Р-2/220; ресивер емкостью 3.5 *м<sup>3</sup>*; электрический нагреватель мощностью 300 *квт*; эжектор; экспериментальный участок (сменный); ряд переходных, соединительных и стабилизирующих участков со вставными металлическими сетками для выравнивания полей скоростей и температур.

В процессе опыта измерялись следующие величины: давление воздуха перед электрическим нагревателем и перед рабочим соплом; температура воздуха на выходе из нагревателя; статическое и полное давление, а также температура в сечениях каждой секции на расстоянии 30 *мм* от плоскости разъема секций; статическое давление в двух промежуточных сечениях первой секции (по направлению течения воздуха), в которой градиент давления достигал наибольших величин; температуры внутренней поверхности стенки канала в тех же сечениях, в которых измеряются скорости, температуры и статические давления воздуха; перепад температур и расход охлаждающей воды во всех секциях; перепад давлений в мерной диафрагме.

Температуры потока в сечениях рабочего участка измеряются подвижными хромель-алиумелевыми микротермопарами в тех же сечениях секций, в которых измеряются статические и динамические давления. Запись температур воздуха во всех сечениях рабочего участка производится на ленте электронного уравновешивающего ленточного потенциометра.

Микротрубки Пито и микротермопары устанавливаются при помощи координатников, которые позволяют измерять динамические давления и температуры во входных сечениях секций рабочего участка через интервал 0.05 *мм*. Каждая секция оборудована двумя координатниками. Поэтому возможно одновременное измерение динамических давлений и температур в соответствующих точках пограничного слоя в контрольных сечениях всех пяти секций рабочего участка.

**2. Обработка экспериментальных данных.** По данным измерений полных давлений и температур потока в сечениях пограничного слоя во всех секциях рабочих участков и статических давлений в этих сечениях построены графики распределения скоростей и температур в пограничном слое каждой секции. По этим графикам определены интегральные характеристики пограничного слоя; толщина потери импульса  $\theta$ , толщина вытеснения  $\delta^*$ , толщина потери энергии  $\varphi$  и толщина теплового вытеснения  $\Delta^*$ ; затем построены графики изменения этих характеристик по длине экспериментального участка (по координате  $x$ ). Кроме того, построены графики изменения скорости, температуры и плотности ( $u_1$ ,  $T_{01}$  и  $\rho_1$ ) в невозмущенном потоке, а также температуры стенки  $T_w$  по длине канала. Эти графики использованы для вычисления касательного напряжения  $\tau_w$  и теплового потока  $q_w$  на стенке каналов по интегральным соотношениям импульсов и энергии для пограничного слоя.

При осесимметричном течении газового потока, которое рассматривается в предлагаемой работе, интегральные соотношения имеют вид:

а) для переноса импульсов

$$\frac{d\theta}{dx} + \left( \frac{H + 2 du_1}{u_1} \frac{du_1}{dx} + \frac{1}{r} \frac{dr}{dx} + \frac{1}{\rho_1} \frac{d\rho_1}{dx} \right) \theta = - \frac{\tau_w}{\rho_1 u_1^2} \quad (2.1)$$

б) для переноса энергии

$$\frac{d\varphi}{dx} + \left[ \frac{1}{u_1} \frac{du_1}{dx} + \frac{1}{r} \frac{dr}{dx} + \frac{1}{T_e - T_w} \frac{d(T_e - T_w)}{dx} + \frac{1}{\rho_1} \frac{d\rho_1}{dx} \right] \varphi = \frac{q_w}{c_p \rho_1 u_1 (T_e - T_w)} \quad (2.2)$$

где

$$\theta = \int_0^{\delta} \frac{\rho u}{\rho_1 u_1} \left( 1 - \frac{u}{u_1} \right) \left( 1 - \frac{y \cos \beta}{r} \right) dy, \quad H = \frac{\delta^*}{\theta}$$

$$\delta^* = \int_0^{\delta} \left( 1 - \frac{\rho u}{\rho_1 u_1} \right) \left( 1 - \frac{y \cos \beta}{r} \right) dy, \quad \varphi = \int_0^{\Delta} \frac{\rho u}{\rho_1 u_1} \left( \frac{T_{01} - T_0}{T_e - T_w} \right) \left( 1 - \frac{y \cos \beta}{r} \right) dy \quad (2.3)$$

Здесь  $u$  — скорость в направлении оси  $x$ ;  $x$  — расстояние, параллельное стенке;  $r$  — радиус (расстояние от поверхности осесимметричного канала до его оси) в рассматриваемом сечении;  $c_p$  — массовая удельная теплоемкость при постоянном давлении;  $T_0$  — температура торможения в рассматриваемой точке пограничного слоя;  $\beta$  — угол между нормалью к стенке и оси канала в плоскости контрольного сечения;  $\delta$  — толщина динамического пограничного слоя;  $\Delta$  — толщина теплового пограничного слоя;  $T_e$  — равновесная температура;  $T_{01}$  — температура торможения потенциального потока;  $T_w$  — температура стенки.

Определение локальных значений  $\tau_w$  или местного коэффициента трения

$$c_f = \frac{2\tau_w}{\rho_1 u_1^2} \quad (2.4)$$

и удельного теплового потока  $q_w$  указанным методом в области существенных положительных градиентов давления является ненадежным [3, 6].

Поэтому локальные значения  $c_f$  и  $q_w$  на поверхности канала определялись еще дополнительными методами.

Метод определения  $c_f$  основан на известном факте [3, 6], что во внутренней области турбулентного ядра пограничного слоя сохраняется универсальной логарифмический профиль скоростей, который при изотермическом течении описывается уравнением

$$\frac{u}{v_{*w}} = 5.75 \lg \frac{y v_{*w}}{v} + 5.5 \quad \left( v_{*w} = \sqrt{\frac{\tau_w}{\rho}} \right) \quad (2.5)$$

где  $v_{*w}$  — динамическая скорость на стенке,  $v$  — кинематическая вязкость.

Как известно, закон (2.5) получен путем интегрирования уравнения Л. Прандтля для касательного напряжения

$$\tau = \rho l^2 \left( \frac{du}{dy} \right)^2, \quad \rho = \text{const}, \quad l = \kappa y, \quad \tau = \tau_w \quad (2.6)$$

При этом определялись постоянная интегрирования и постоянная  $\kappa$  по измерениям распределения скоростей в гладкой трубе, выполненным И. Никурадзе.

Для того чтобы распространить указанный метод на течение газа с теплообменом, необходимо при интегрировании уравнения (2.6) учесть изменение плотности с температурой и внести соответствующую поправку на теплообмен при определении постоянной интегрирования.

Интегрируя уравнение (2.6) с учетом изменения плотности газа  $l = \kappa y$ ,  $\tau = \tau_w$ , получим

$$\frac{1}{\kappa} \ln y = \frac{1}{v_{*w}} \int \frac{dy}{\sqrt{\frac{\tau_w}{\rho_1 / \rho}}} \quad (2.7)$$

Проведенные измерения показали, что в пристеночной области можно принять

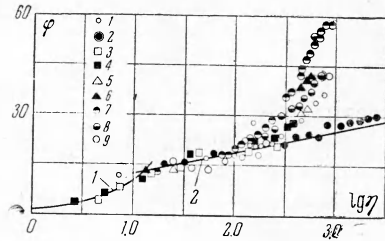
$$\frac{T - T_w}{T_e - T_w} = \frac{u}{u_1} \quad (2.8)$$

С учетом (2.8) уравнение (2.7) приводится к виду

$$\frac{1}{\kappa} \ln y = \frac{1}{V c_f / 2} \left[ \frac{2 \sqrt{T_w^\circ + (1 - T_w^\circ) (u / u_1)}}{1 - T_w^\circ} + C \right] \\ \left( T_w^\circ = \frac{T_w}{T_0} \right) \quad (2.9)$$

Принимая  $\kappa = 0.4$  и определяя постоянную интегрирования, как это было выполнено в работе [7] путем смыкания турбулентного распределения скоростей с ламинарным распределением скоростей в непосредственной близости от стенки, где ламинарное и турбулентное касательное напряжение по своей величине одного порядка, получим

$$2 \left[ \frac{\sqrt{T_w^\circ + (1 - T_w^\circ) u / u_1} - \sqrt{T_w^\circ}}{1 - T_w^\circ} \right] = \\ = \left[ 5.75 \lg \left( R_y \sqrt{\frac{c_f}{2}} \right) + 5.5 \right] \sqrt{\frac{c_f}{2}} \\ \left( R_y = \frac{u_1 y}{v} \right) \quad (2.10)$$



Фиг. 1

Строя профиль скоростей (2.10) в переменных  $u / u_1 = f(y / \delta)$  для данного  $T_w^\circ$ , получаем сетку кривых при фиксированных значениях  $c_f$ . Если нанести на такой график экспериментальные значения скоростей в испытуемом сечении при соответствующем значении  $T_w^\circ$ , то по совпадению профиля скоростей в его логарифмической части с одной из кривых сетки найдем соответствующее значение  $c_f$ , которое и будет локальным значением коэффициента трения на стенке в рассматриваемом сечении.

На фиг. 1 показана зависимость параметра  $\varphi = u / v_{*w}$  от параметра  $\lg \eta = \lg(y v_{*w} / v)$ .

Кривая (1) соответствует распределению скоростей в ламинарном подслое ( $\varphi_1 = \eta_1$ ). Кривая (2) соответствует распределению скоростей в турбулентном пограничном слое, согласно уравнению (2.10). На этом же графике нанесены экспериментальные точки, полученные при различных значениях формпараметра градиента давления

$$\Gamma = \left( \frac{\theta}{u_1} \frac{du_1}{dx} \right) R_\theta^{1/4} = \left( - \frac{\theta}{\rho_1 u_1^2} \frac{dp}{dx} \right) R_\theta^{1/4} \quad \left( R_\theta = \frac{u_1 \theta}{v_1} \right) \quad (2.11)$$

где  $v_1$  — кинематическая вязкость потенциального потока в рассматриваемом сечении. Из графика видно, что примерно на одной трети толщины пограничного слоя сохраняется логарифмический профиль скоростей при  $dp/dx > 0$ . Этот вывод также подтверждается опытами Бребнера и Беглея [8], Фейджа [9], Шубауера и Клебанова [10] (кривые (3)–(6)), МЛТИ (кривые (7)–(9)). За пределами вполне турбулентной части пристеночного слоя наблюдается отклонение опытных точек от логарифмического профиля скоростей и тем значительней, чем больше градиент давления.

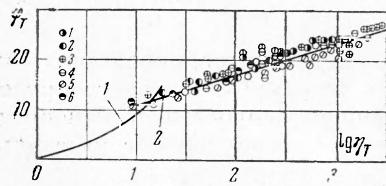
На фиг. 2 выполнено аналогичное построение для распределения температур. На этом графике

$$\Phi_T = \frac{v}{\sqrt{S}}, \quad \eta_T = R_y \sqrt{S} \quad \left( S = \frac{q_w}{c_p \rho_1 u_1 (T_e - T_w)}, \quad v = \frac{T_0 - T_w}{T_e - T_w} \right)$$

Кривая (1) соответствует распределению температур в ламинарном подслое и кривая (2) соответствует распределению температур в турбулентном пограничном слое. На этом же графике нанесены экспериментальные профили температур; при этом точкам 1, ..., 6 соответствуют следующие значения  $\Gamma$ :

точки	1	2	3	4	5	6
$\Gamma = -0.0760$	-0.0550	-0.0282	-0.00906	0.0049	0.0112	

Из фиг. 2 видно, что закон распределения температур подтверждается на значительно большем участке толщины пограничного слоя, чем закон распределения скоростей; отсюда вытекает, что градиент давления не оказывает существенного влияния на распределение температуры в пограничном слое.



Фиг. 2

дам охлаждающей воды и нагреве воды в секциях экспериментального участка определялись удельные тепловые потоки на стенке.

Для определения распределения  $\tau$  и  $q$  по сечению пограничного слоя проинтегрированы дифференциальные уравнения импульсов и энергии с учетом уравнения неразрывности.

После обычных преобразований имеем

$$\frac{d\theta_y}{dx} + \left( \frac{2 + H_y}{u_1} \frac{du_1}{dx} + \frac{1}{r} \frac{dr}{dx} + \frac{1}{\rho_1} \frac{d\rho_1}{dx} \right) \theta_y - \frac{u_1 - u}{r\rho_1 u_1^2} \times \int_0^y \frac{\partial(r\rho u)}{\partial x} dy = \frac{\tau_w}{\rho_1 u_1^2} - \left( 1 - \frac{y \cos \beta}{r} \right) \frac{\tau_y}{\rho_1 u_1} \quad (2.12)$$

$$\begin{aligned} \frac{d\Phi_y}{dx} + \left[ \frac{1}{u_1} \frac{du_1}{dx} + \frac{1}{r} \frac{dr}{dx} + \frac{1}{\rho_1} \frac{d\rho_1}{dx} + \frac{1}{T_e - T_w} \frac{d(T_e - T_w)}{dx} \right] \Phi_y - \\ - \frac{T_e - T_0}{\rho_1 u_1 (T_e - T_w)} \int_0^y \frac{\partial}{\partial x} (r\rho u) dy = \frac{1}{c_p \rho_1 u_1 (T_e - T_w)} \left( q_w - \frac{r_y}{r} q_y \right) \quad (2.13) \end{aligned}$$

$$\theta_y = \int_0^y \frac{\rho u}{\rho_1 u_1} \left( 1 - \frac{u_1}{u} \right) \left( 1 - \frac{y \cos \beta}{r} \right) dy$$

— толщина потери импульса при фиксированном значении  $y$ ;

$$\delta_y^* = \int_0^y \left( 1 - \frac{\rho u}{\rho_1 u_1} \right) \left( 1 - \frac{y \cos \beta}{r} \right) dy$$

— толщина вытеснения при фиксированном значении  $y$ ;

$$\Phi_y = \int_0^y \frac{\rho u}{\rho_1 u_1} \left( \frac{T_{01} - T_0}{T_e - T_w} \right) \left( 1 - \frac{y \cos \beta}{r} \right) dy$$

— толщина потери энергии при фиксированном значении  $y$ .

Используя экспериментальные значения величин, входящих в уравнения (2.12) и (2.13), вычислены коэффициенты сопротивления и удельные тепловые потоки в пределах изменения от 0 до  $\delta$  и от 0 до  $\Delta$ . Результаты

таты вычислений представлены в виде графиков

$$c_{fw} - c_{fy} = f(y), \quad \frac{q_y - q_w}{c_p} = f(y)$$

в различных сечениях экспериментальных участков при различных режимах течения нагретого воздуха.

**3. Результаты экспериментальных исследований.** На фиг. 3 показано влияние градиента давления на распределение скоростей и температур в турбулентном пограничном слое.

Кривые 1 и 2 соответствуют распределению скоростей и температур при безградиентном течении.

Сопоставление графиков распределения скоростей и температур в пограничном слое показывает, что при течении газа с положительным градиентом давления

не выполняется подобие полей скоростей и температур. Особенно значительное нарушение подобия этих полей наблюдается в предотрывной области. На фиг. 4 показана зависимость параметра  $H = \delta^*/\theta$  от формпараметра (заштрихованная область охватывает все экспериментальные точки). Сплошная линия соответствует

$$H = 1.47(1 - 4.55\Gamma) \quad (3.1)$$

При рассмотрении фиг. 4 обращает внимание тот факт, что отрыв пограничного слоя не наблюдается до значений формпараметра  $\Gamma$ , более чем в два раза превышающих отрывные значения  $\Gamma = -0.06$  по Бури [1]. Соответственно значения  $H$ , полученные в опытах, достигают величин порядка 2.5, что приближается к отрывным значениям  $H$ , рекомендуемым Денгофом и Тетервиным [4]. Существенное затягивание точки отрыва по сравнению с изотермическим движением жидкости можно объяснить стабилизирующим влиянием охлаждения стенок диффузора, а также осесимметричностью движения газа в напих условиях. Заметный разброс опытных точек на графике  $H = f(\Gamma)$  можно объяснить влиянием различных условий охлаждения. Очевидно, определение  $H$  по толщине вытеснения в переменных Дородницина не позволяет полностью исключить влияние теплообмена.

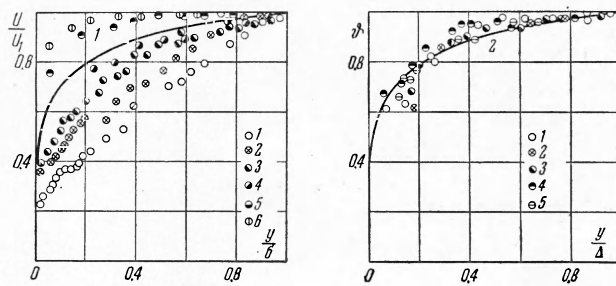
На фиг. 5 показана зависимость параметра

$$\zeta = \frac{\tau_w}{\rho_1 u_1^2} R_\theta^{1/4}$$

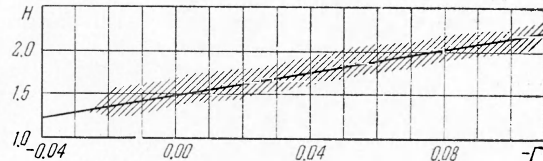
приведенного к теплоизолированным условиям по предельной формуле, предложенной в работе [11], от параметра  $\Gamma$ .

Экспериментальные точки на фиг. 5 удовлетворительно располагаются вдоль кривой (I), уравнение которой имеет вид

$$\zeta = \left( \frac{\sqrt{T_w} + 1}{2} \right)^2 = 0.0128(1 - \Gamma)^{-20} \quad (3.2)$$



Фиг. 3



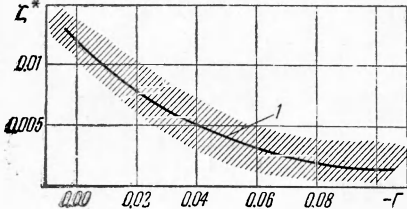
Фиг. 4

Учитывая уравнение (3.2), получим закон сопротивления

$$\frac{c_f}{2} = \frac{0.0128}{R_0^{1/4}} \left( \frac{2}{\sqrt{T_w^{\circ} + 1}} \right)^2 \frac{1}{(1 - \Gamma)^{20}} \quad (3.3)$$

При построении графика на фиг. 5 использованы экспериментальные данные, охватывающие изменения температурного фактора в пределах  $0.5 \div 1.0$  и значения формпараметра  $\Gamma$  от 0 до 0.12.

На фиг. 6 показана зависимость формпараметра  $H$  от введенного Грушвитцем [2] формпараметра  $\eta$



Фиг. 5

$$\eta = 1 - \frac{u^2(\theta)}{u_1^2} \quad (3.4)$$

который связан с формпараметром  $H = \delta^*/\theta$  уравнением

$$\begin{aligned} \eta &= 1 - \left[ \frac{H - 1}{H(H + 1)} \right]^{H-1} = \\ &= 1 - \left( \frac{\theta}{\delta^*} \right)^{2/n} \end{aligned} \quad (3.5)$$

полученным при степенном законе распределения скоростей

$$\frac{u}{u_1} = \left( \frac{y}{\delta} \right)^{1/n} \quad (n = \frac{2}{H+1})$$

Здесь  $u(\theta)$  — скорость в пограничном слое на расстоянии от стени  $y = \theta$ .

Кроме наших опытных точек на фиг. 6 нанесены опытные точки Грушвитца [2], Никурадзе [12], Келя [13], Дёнгофа и Тетервина [4], Бребнера и Беглея [8], Шубауэра и Клебанова [10] (заштрихованная область).

Приведенный график показывает, что для установления зависимости  $H$  от  $\eta$  с достаточной точностью можно воспользоваться степенным профилем скоростей.

**4. Расчет динамического пограничного слоя.** Представим уравнение (2.1) в следующем виде:

$$\frac{dR_0}{xd^\circ} + (H + 1) \frac{R_0}{u_1} \frac{du_1}{dx^\circ} + \frac{R_0}{r} \frac{dr}{dx^\circ} = \xi R_0^{-1/4} R_L \quad (4.1)$$

$$x^\circ = \frac{x}{L}, \quad R_L = \frac{\rho_1 u_1 L}{\mu_{00}}$$

Здесь  $L$  — характерный линейный размер;  $\mu_{00}$  — коэффициент динамической вязкости потенциального потока при температуре торможения

$$\frac{d(R_0^{5/4})}{dx^\circ} + \frac{5}{4} \frac{R_0^{5/4}}{r} \frac{dr}{dx^\circ} = F(\Gamma) R_L \quad (4.2)$$

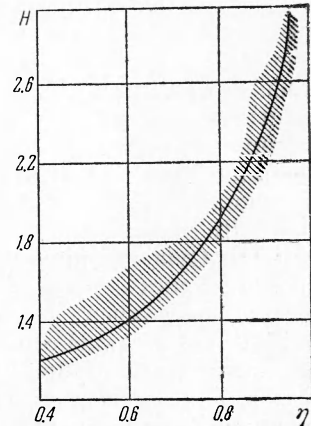
Здесь

$$F(\Gamma) = \frac{5}{4} [\zeta - (H + 1) \Gamma] \quad (4.3)$$

На фиг. 7 показана зависимость функции  $F(\Gamma)$  от формпараметра  $\Gamma$ . Значения  $F(\Gamma)$ , вычисленные на основе полученных в опытах величин  $\zeta$ ,  $H$  и  $\Gamma$ , хорошо располагаются вдоль прямой, уравнение которой имеет вид

$$F(\Gamma) = a - b\Gamma \quad (4.4)$$

где  $a$  и  $b$  — постоянные, значения которых, как это следует из фиг. 8, равны:  $a = 0.0160$ ,  $b = 3.55$ , что практически совпадает с соответствующими коэффициентами Бури [1].



Фиг. 6

Таким образом, хотя величины  $\zeta$  и  $H$  существенно зависят от теплообмена, последний на функцию  $F(\Gamma)$ , как и следовало ожидать, практически не влияет.

Интеграл уравнения (4.2) с учетом (4.4) равен

$$R_0^{5/4} = \frac{a}{r^{1.25} u_1^b} \left( \int_{x_0^\circ}^{x^\circ} R_L r^{1.25} u_1^b dx^\circ + C \right) \quad (4.5)$$

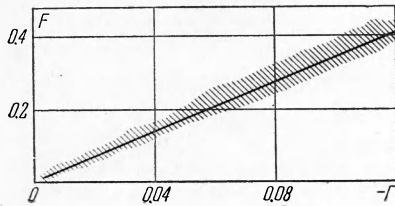
или

$$R_0 = \left[ \frac{0.0160}{r^{1.25} u_1^{3.55}} \left( \int_{x_0^\circ}^{x^\circ} R_L r^{1.25} u_1^{3.55} dx^\circ + C \right) \right]^{0.8}$$

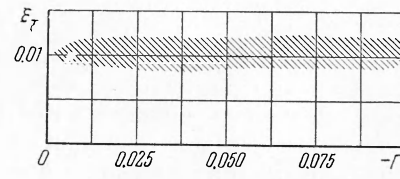
Здесь  $C$  — постоянная интегрирования,  $x$  — значение безразмерной координаты в точке начала рассчитываемого турбулентного пограничного слоя

$$C = \left[ \frac{R_0^{1.25} r^{1.25} u_1^{3.55}}{0.0160} \right]_{x=x_0^\circ}$$

Таким образом, расчет динамического пограничного слоя с существенными положительными градиентами давления в области относительно небольших интенсивностей теплообмена можно производить по методике



Фиг. 7



Фиг. 8

аналогичной методу Бури, с учетом влияния теплообмена на зависимость  $\xi$  от  $\Gamma$ .

Вопрос о влиянии интенсивного охлаждения или нагрева газа на характеристики турбулентного пограничного слоя при градиентном течении газа требует дальнейшей разработки.

**5. Расчет теплового пограничного слоя.** Запишем уравнение (1.2) в следующем виде:

$$\frac{d}{dx^\circ} (r R_\varphi^{5/4}) + \frac{1}{4} \frac{1}{r} \frac{dr}{dx^\circ} (r R_\varphi^{5/4}) + \frac{5}{4} \frac{1}{T_e - T_w} \frac{d(T_e - T_w)}{dx^\circ} (r R_\varphi^{5/4}) = \frac{5}{4} r R_L S R_\varphi^{1/4} \quad (5.1)$$

$$R_\varphi = \frac{u_1 \Phi}{v_1}, \quad S = \frac{q_w}{c_p \rho_1 u_1 (T_e - T_w)}$$

Обработка опытных данных по теплообмену (фиг. 8) показывает, что произведение  $S R_\varphi^{1/4}$  практически не зависит от градиента давления. Среднее значение  $S R_\varphi^{1/4}$  по графику на фиг. 8 можно принять равным 0.011.

Тогда интеграл уравнения (5.1) равен

$$r R_\varphi^{5/4} = \frac{0.0137}{r^{1/4} (T_e - T_w)^{5/4}} \left[ \int_{x_0^\circ}^{x^\circ} r^{5/4} (T_e - T_w)^{5/4} R_L dx^\circ + C \right]$$

Следовательно,

$$R_\varphi = \left\{ \frac{0.0137}{r^{5/4} (T_e - T_w)^{5/4}} \left[ \int_{x_0^\circ}^{x^\circ} r^{5/4} (T_e - T_w)^{5/4} R_L dx^\circ + C \right] \right\}^{0.8} \quad (5.2)$$

где  $C$  — постоянная интегрирования

$$C = \left[ \frac{R_\varphi^{5/4} r^{5/4} (T_e - T_w)^{5/4}}{0.0137} \right]_{x=x_0}$$

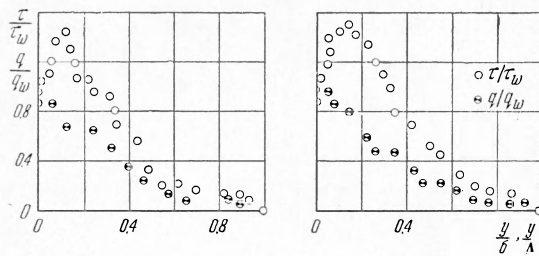
$x_0$  — значение безразмерной координаты  $x$ , в точке начала рассматриваемого теплового турбулентного пограничного слоя.

Локальные значения чисел Стантона определяются по уравнению

$$S = \frac{0.011}{R_\varphi^{1/4}} \quad (5.3)$$

**6. Об аналогии Рейнольдса о переносе тепла и импульсов.** Полученные экспериментальные данные позволяют проанализировать вопрос о справедливости аналогии в процессах переноса тепла и количества движения при градиентном течении газа.

Исходными предпосылками аналогии Рейнольдса является, как известно, равенство коэффициентов турбулентного обмена импульсов и тепла, а также идентичность законов изменения  $\tau$  и  $q$  по сечению пограничного слоя.



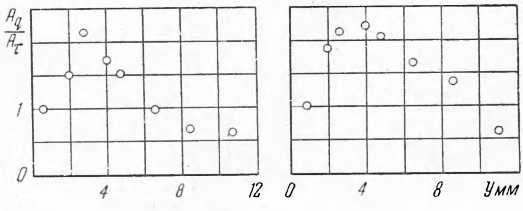
Фиг. 9

Следствием этих предпосылок является подобие профилей скоростей и температур в пограничном слое.

Выше отмечалось существенное нарушение подобия профилей скоростей и температур в пограничном слое при течении газа с положительным градиентом давления. На фиг. 9 показано распределение  $\tau$  и  $q$  по сечению пограничного слоя, полученное по методу расчета, изложенному в п. 3. Как видно из графика, законы изменения  $\tau$  и  $q$  по сечению пограничного слоя существенно различаются, причем это различие тем больше, чем ближе состояние потока к отрывному. Таким образом, одна из предпосылок аналогии Рейнольдса не подтверждается опытами при градиентном течении газа. На фиг. 10 показано изменение коэффициентов турбулентного обмена импульсов и тепла  $A_\tau$  и  $A_q$  по сечению пограничного слоя.

Полученная закономерность изменения  $A_q / A_\tau$  по сечению пограничного слоя качественно согласуется с опытными данными Людвига [14], Фейджа и Фокнера [15]. В частности, последние на основании измерений распределения температур и скоростей в свободной струе получили  $A_q / A_\tau \approx 2$ . Можно предполагать, что на некотором расстоянии от стенки механизм турбулентного переноса тепла и импульсов подчиняется закономерностям свободной турбулентности. С физической точки зрения влияние свободной турбулентности должно превалировать по мере приближения к точке отрыва, так как в этом случае уменьшается влияние стенки на характеристики турбулентного пограничного слоя.

Следует отметить, что проведенный анализ носит чисто качественный характер, так как использованный метод определения  $A_\tau$  и  $A_q$  при современной технике эксперимента является недостаточно надежным, на что указывалось в п. 1. Для изучения количественных закономерностей необходимо произвести непосредственное измерение пульсационных ха-



Фиг. 10

рактеристик турбулентного пограничного слоя в рассматриваемых условиях.

В результате проведенных экспериментальных исследований получен новый опытный материал по характеристикам динамического и теплового пограничных слоев при течении газа в осесимметричных диффузорах и конфузорах с охлаждаемыми стенками.

Опытные значения формпараметра  $\Gamma$ , соответствующие точке отрыва турбулентного пограничного слоя, существенно превышают соответствующие значения по данным Никурадзе.

Опытные значения формпараметра  $\zeta$  находятся между соответствующими их значениями по методам Бури и Грушвитца. Формпараметр  $\zeta$ , введенный Бури для определения закона трения при градиентном течении несжимаемой жидкости без теплообмена, может быть использован и для установления закона трения при течении газа с градиентом давления и теплообменом при введении поправки на теплообмен. Предложен метод расчета турбулентного динамического и теплового пограничных слоев при течении газа в осесимметричных каналах с градиентом давления.

Из существующих методов расчета турбулентного пограничного слоя при наличии градиента давления наибольшее расхождение с опытом дают методы, основанные на аналогии Рейнольдса. Опыты показали, что при градиентном течении газа наблюдается существенное нарушение подобия полей скоростей и температур. Отношение  $\tau / q$  нельзя принимать постоянным по сечению пограничного слоя. Отношение коэффициентов турбулентного обмена тепла и импульсов  $A_q / A_\tau$  значительно изменяется по сечению пограничного слоя.

В проведении опытов и обработке результатов принимали участие Ю. П. Семенов, А. К. Воскресенский, В. Н. Харченко и Л. Г. Шелегова.

Поступила 27 V 1961

#### ЛИТЕРАТУРА

1. B u r i A. Eine Berechnungsgrundlage für die turbulente Grenzschicht bei beschleunigter und verzögterer Strömung, Диссертация, Zurich, 1931.
2. G r u s c h w i t z E. Die turbulente reibungsschicht in ebener Strömung bei druckfall und druckanstieg. Ingenier — Archiv, 1931, Bd. 2, 321.
3. C l a u s e r F. H. Turbulent boundary layer in adverse pressure gradients. J. A. S., 1954, V. 21, No. 2, p. 91—108.
4. D o e n h o f f A. E., T e t e r v i n N. Determination of general relations for the behavior of turbulent boundary layers. NACA Rep. 772, 1943.
5. S z a b l e w s k i W. Wandnahe Geschwindigkeitsverteilung turbulenter Grenzschicht — strömungen mit Druckanstieg. Ingenier — Archiv, 1955, Bd. XXIII.
6. S z a b l e w s k i W. Turbulente Strömungen in divergenten Kanälen. Ingenier — Archiv, 1954, Bd. XXII.
7. Шлихting Т. Теория пограничного слоя. ИИЛ, 1956.
8. B r e b n e r G. C., B a g l e y I. A. Pressure and boundary layer measurements on a two — dimensional wing at low speed R. and M. 1952, No. 2886.
9. F a g e A. Profile and skin friction aerofoil drags R. and M., 1938, № 1852.
10. S c h u b a u e r G. B., K l e b a n o f f P. S. Investigation of separation of the turbulent boundary layer NACA Rep. 1030, 1950.
11. Кутателадзе С. С., Леонтьев А. И. Турбулентное трение на плоской пластине в сверхзвуковом потоке газа. ПМТФ, 1960, No. 4
12. N i k u r a d s e I. Untersuchungen über die Strömungen des wassers in konvergenten und divergenten kanälen. Forschungsarbeiten des VDI, 1929, H. 289.
13. K e h l A. Über konvergante und divergente turbulente reibungsschichten. Ingenier — Archiv, 1943, Bd. XII, 12.
14. L u d w i g H. Ein gerät zur messung der wendschubspannung turbulenter reibungsschichten. Ingenier — Archiv, 1949, Bd XVII, 207.
15. F a g e A., F o k n e r W. M. The transport of vorticity and heat through fluids in turbulent motion. Proc. Roy. Soc., 1932, V. 135, p. 685.
16. S p e n c e D. A. The development of turbulent boundary layers. IAS, 1956, V. 23, p. 3—15.
17. Зысина-Моложен Л. М. Турбулентный пограничный слой при наличии продольного перепада давления. ЖТФ, 1959, т. XXII, вып. 11.